

海浜カスプの形成(伴う)海岸堤防脚部地形変化について

高知大学農学部 王貞 玉井 佐一

1. まえがき

海岸侵食に伴う汀線の後退¹⁾と、海浜幅が狭くなつた地形において海浜カスプ²⁾、特に Beach cusp の形成³⁾がよき条件⁴⁾である。海岸堤防脚部地形が沿岸方向に波状地形を示すことを⁵⁾は碰撞⁶⁾である。これは海岸堤防脚部の洗刷倒壊⁷⁾、また根固め消波工⁸⁾波状沈下⁹⁾による堆積¹⁰⁾である。本研究はこのような現象を把握するため、海浜幅が波障害区間¹¹⁾から実験的に考察する¹²⁾もしくは、波状地形の形成¹³⁾とその形状特性¹⁴⁾について検討した。

2. 実験設備および実験方法

実験水槽長さ 20m、幅 10m、深さ 60cm の波浪水槽を用いて行った。水槽の一端に半中央粒径 $d_{50} = 0.28\text{mm}$ の自然砂¹⁵⁾を $i_0 = 1/10$ および $a = 1/15$ の海浜地形を作製した。併し、海岸堤防は高さ 15 cm の鉛直堤¹⁶⁾とした。波は周期 T = 2.0~2.0 sec、沖波波高 $H_0 = 1.9 \sim 9.5\text{cm}$ 、沖波波形勾配 $H_0/L_0 = 0.003 \sim 0.037$ を対象とした。また、初期海浜幅 $X_B = 30, 35, 40, 45$ および 50cm の 5 種類とした。波の測定は容量式波高計¹⁷⁾、地形は斜面測定器¹⁸⁾を用いて行った。

3. 実験結果による考察

初期海浜勾配 $i_0 = 1/10$ 、海浜幅 $X_B = 30\text{cm}$ 、沖波波形勾配 $H_0/L_0 = 0.010$ の場合、造波 2 時後、海浜地形の変化が図-1(a)である。図中実線は初期実線である。これは $i_0 = 1/10$ 、前段部に Beach cusp¹⁹⁾が形成されたことと、海岸堤防脚部²⁰⁾で地形変化が遅い²¹⁾。この堤防脚部地形の沿岸方向変化²²⁾を示したもののが図-1(b)である。図-2(a)は、 $i_0 = 1/15$ 、 $X_B = 30\text{cm}$ 、 $H_0/L_0 = 0.0086$ の場合²³⁾の海浜地形の変化を、図-2(b)は堤防脚部地形の沿岸方向の変化を示したものである。 $i_0 = 1/10$ および $1/15$ の場合ともに、堤防脚部地形が沿岸方向に波状を示すことがわかる。このようすは波状地形の沿岸方向の変化距離 L_s とカスプ²⁴⁾のスパン L_c と 1 倍以上の関係があり、 $L_s > L_c$ すなはち、また碎波帯内²⁵⁾入射波の沿岸方向の波高の変化

間隔 L_s も等しい値を示す。次に、堤防脚部に対する波状地形の最大変動高さ h_c と冲波波高 H_0 との比 h_c/H_0 を縦軸に、横軸に Iribarren 数 $I_r = i/(H_0/L_0)^{1/2}$ を取って示したもののが図-3 である。たゞ、 i は海浜変形後の前浜勾配²⁶⁾である。 $i_0 = 1/10$ および $1/15$ における h_c/H_0 の値はほぼ同様の値を

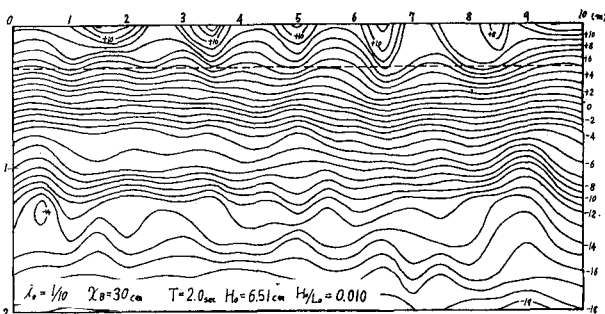


図-1(a)

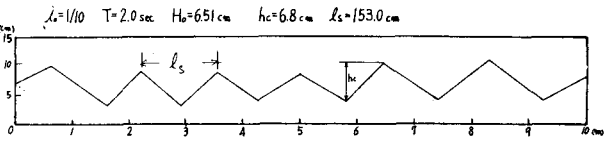


図-1(b)

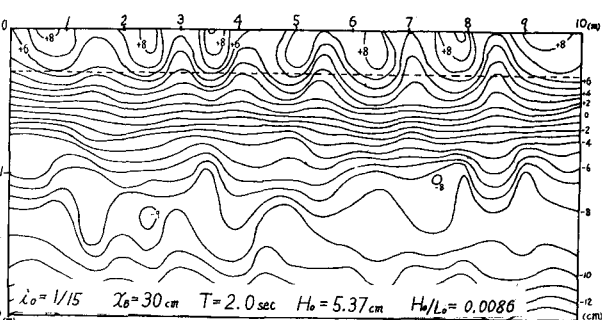


図-2(a)

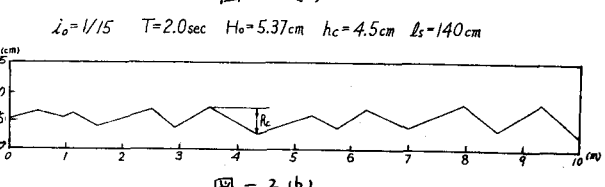


図-2(b)

示し、 I_r が大きくなるにしたがって h_c/H_0 は直線的に増大する傾向がある。また、図-4は縦軸に波状地形のスパン l_s と碎波帯幅 l_B の比 l_s/l_B を、横軸に Iribarren 数 $i_o/(H_0/L_0)^{1/2}$ を取ったものである。これによれば、 I_r の増大とともに、 l_s/l_B が大きくなることがわかる。これは結果得られる波状地形の形成に関する実験結果におけるスパン l_c と l_B の比 l_c/l_B の値と同様である。以上のようには、海岸幅が狭い場合、堤防脚部に波状地形が形成されない、主縦軸に初期海浜幅 X_B と碎波帯幅 l_B の比 X_B/l_B をとり、横軸に上記同様 I_r を取ったものが、図-5である。図中○印は海岸堤防脚部に波状地形が形成された場合であり、●印は形成されない場合である。これらを分布させ、図中実線の式 $(= 境界線) X_B/l_B = 0.91 \{ i_o / (H_0 / L_0)^{1/2} \}$ を引くことができる。すなわち、○印は前浜部 X_B と Beach cusp の形成されるが、その要因が堤防脚部に達しない場合、または不明確な場合である。

一方、 X_B と海岸堤防より碎波堤までの距離 L_B ($= l_B + X_B$) と X_B / L_B をとり、堤防脚部の波状地形の形成につれてみると、 $X_B / L_B < 0.35 \sim 0.40$ の場合は波状地形が形成され、 $X_B / L_B > 0.35 \sim 0.40$ の場合は波状地形が形成されない、 $X_B / L_B = 0.35 \sim 0.40$ の場合は境界線を引くことができる。これらについてはさらに多くの実験によって検討を行っている。

4. 現地海岸における海岸堤防脚部の波状地形の形成

写真-1は高知海岸長浜地区における堤防脚部の波状地形である。このスパンは $40 \sim 50\text{m}$ ある。この地区の後浜カスプのスパンと同様である。この写真によれば、堤防脚部の洗掘による波状地形が形成されているようである。これらにつけても実験によると検証を進めていく予定である。

5. おわりに

堤防脚部における波状地形の形成(2-112号)の実験を行なったところから、主として海岸幅と碎波帯幅との関係性をかみ取る検討を行なった。

1) 著者: 第23回海工論文集, 1996.

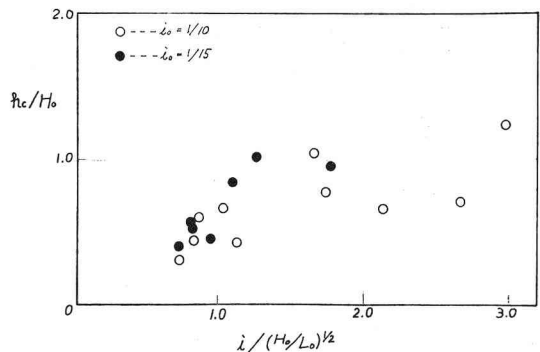


図-3

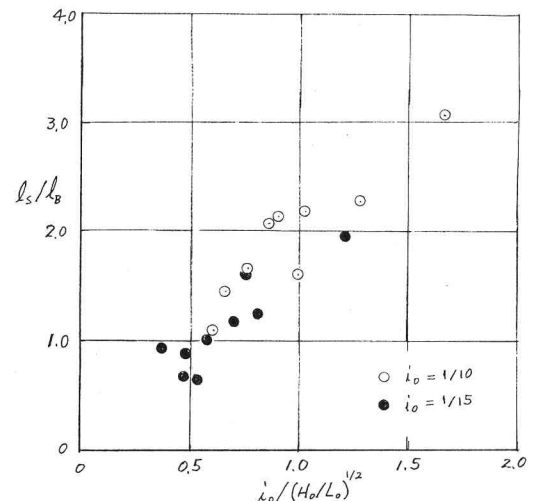


図-4

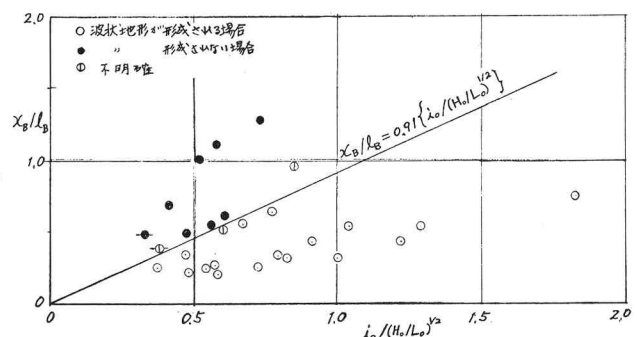


図-5

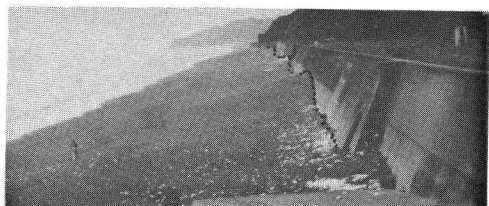


写真-1 長浜海岸 (1982-8)